

12
2rj

UNIVERSIDAD NACIONAL AUTONOMA DE MEXICO

FACULTAD DE QUIMICA

SINTESIS DE CISTEINA

T E S I S

DUE PARA OBTENER EL GRADO DE

Q U I M I C O

P R E S E N T A

FRANCISCO GONZALEZ AGUILAR

TESIS CON
FALLA DE ORIGEN

MEXICO, D. F.

1990



UNAM – Dirección General de Bibliotecas Tesis Digitales Restricciones de uso

DERECHOS RESERVADOS © PROHIBIDA SU REPRODUCCIÓN TOTAL O PARCIAL

Todo el material contenido en esta tesis está protegido por la Ley Federal del Derecho de Autor (LFDA) de los Estados Unidos Mexicanos (México).

El uso de imágenes, fragmentos de videos, y demás material que sea objeto de protección de los derechos de autor, será exclusivamente para fines educativos e informativos y deberá citar la fuente donde la obtuvo mencionando el autor o autores. Cualquier uso distinto como el lucro, reproducción, edición o modificación, será perseguido y sancionado por el respectivo titular de los Derechos de Autor.

CONTENIDO.

1. - Introducción
2. - Características
3. - Objetivo
4. - Plantamiento de los instrumentos
5. - Desarrollo
6. - Parte Experimental
7. - Conclusiones
8. - Bibliografía
9. - Espectros.

CAPITULO I

I. INTRODUCCION.

I.I. PROTEINAS

La palabra "proteína" proviene del adjetivo griego proteicos, que significa de primer rango o importancia.

El vocablo proteína abarca lo que con toda probabilidad es el grupo más grande y más ampliamente diversificado de sustancias orgánicas nitrogenadas, sin embargo las unidades fundamentales con que están construidas son moléculas non sustancias relativamente sencillas: los aminoácidos. Estos se combinan entre si en la proteína por medio de enlaces de amida; R-C(=O)-NH-R'; que se denominan enlaces peptídicos. A cada extremo de esta cadena pueden agregarse unidades de aminoácidos para dar una serie de polipeptídicos.

Existen tres funciones biológicas importantes que pueblan señaladamente de las proteinas:

a) Las proteinas son componentes de tejidos estructurales, como las membranas de toda clase, desde el extremo de las células

sanguíneos a la piel de los animales, y entran en la composición de los pelos, escamas, plumas, cuernos y garras.

b) Una segunda función comprende las que sirven como sustancias de reserva del organismo.

c) La tercera incluye proteínas que poseen la capacidad de catalizar determinadas reacciones químicas en todo los animales.

Es claro que toda célula viva debe contener muchos componentes proteicos, pues las reacciones químicas que son características del proceso viviente son catalizadas por enzimas y las enzimas son proteínas. Estas enzimas son específicas para cada función.

Un grupo importante de proteínas casi inertes e insolubles son las queratinas, que son los principales componentes proteicos del pelo, cuernos, uñas, garras, escamas, plumas y ciertas capas de la piel de los animales.

Por medio del análisis elemental de las proteínas encontramos: C- N- O y S. Una tabla de composición cuantitativa hecha por Osborne muestra que el contenido de los elementos no varía notablemente¹¹:

Elemento	Rango de composición
C	55-55%
N	6.7-7.3%
N	15.5-19.32%
S	intervalo amplio

El azufre varía dependiendo de la proteína 0.39%-4.5%.

3.3.1. HIDROLISIS.

De la descomposición completa de las proteínas con ácido fórmico concentrado o alcalio en caliente y con enzimas proteolíticas a un pH apropiado se obtienen una mezcla de aminoácidos, alrededor de 20 de estas sustancias son aparecidas como productos de la hidrólisis de una u otra proteína. Sin embargo, las proteínas se diferencian notablemente en cuanto a las cantidades relativas de los aminoácidos que de ellas se obtienen¹¹.

Fraccción de hidrólisis de una proteína.



Fig. 3.1. FRACCIÓN DE HIDRÓLISIS DE UNA PROTEÍNA.

Agentes hidrolíticos:

1. - ácidos.

2. - enzimas.

3. - bases.

1.2. AMINOCARBOXICOS

Todos los amoniacos, obtenidos por hidrólisis de los quelados con amoniacal, son ópticamente activos. Una de las causas que más explique el efecto de carbono central es que la hidrólisis libera los enlaces en todos estos átomos. La fórmula general es:



y los diversos amoniacos difieren solamente en la estructura del radical R. La glicina, el amonaco más sencillo, es no simétrico porque R es el hidrógeno; pero todos los demás amoniacos naturales, son claramente artificiales; y por lo que se conoce, todos los que han sido obtenidos por hidrólisis de quelados pertenecen tienen la misma configuración y pertenecen a la fórmula L, configuracionalmente relacionado con el antiguo alfa-hidrógeno.



Fig. 1.2. Amoniacos primarios. L-ácido glicílico. L-glicina.

En 1947 la Comisión sobre Nomenclatura, Ortografía y Pronunciación de la American Chemical Soc., aprobó la siguiente regla: "En lugar de las equivalencias d y l de que algunos autores se valían para indicar la notación y orden para designar relaciones de configuración, se le

deben sustituir por R y S para indicar la configuración de los grupos alrededor de átomos de carbono asimétricos como se hace en los hidratos de carbono".

Los aminoácidos naturales son L y los sintéticos son D o sea una mezcla de las formas L y D.



Los prefijos dentro y levo, o los signos (+) y (-) se usan para indicar rotación en el polarímetro.

1.2.1. RESOLUCIÓN ÓPTICA.

Resolución de aminoácidos: El término resolución puede definirse como un procedimiento por medio del cual los isómeros ópticos son separados de una mezcla racemica.

En muchos casos los aminoácidos se pueden obtener a través de síntesis química solamente en forma de mezclas racemicas. Por consiguiente, la resolución óptica es indispensable para conseguir las formas ópticamente activas o e. t., las cuales son usadas como componentes de algunos fármacos.

En una u otra forma todos los procedimientos de resolución concuerdan con los estudios de Louis Pasteur.

Los principales de la regulación se basan sobre todo en lo siguiente:

a) Separación mecánica de los cristales.

b) Diferencia de la solubilidad de los sales diastereoisoméricas.

c) La acción de organismos vivos o de enzimas derivadas de los organismos vivos, los cuales utilizan preferentemente uno de los dos isómeros ópticos para formar las vias.

1.2.2. PRODUCCION DE ANTIMICROBIO.

Los métodos de producción de antimicrobio se pueden clasificar de la siguiente forma:

a) Producción fermentativa

b) Producción enzimática

c) Metodos sintéticos

d) Producción por ensamblaje.

1.2.3. ASPECTOS ECONOMICOS.

Debido a la gran variedad de usos de los antimicrobios, su desarrollo incrementa cada vez en mayor proporción. En la actualidad el antimicrobio de mayor demanda es el azido glutámico.

A continuación se muestra una tabla que indica el precio de los aminoácidos y su forma de producción.

Aminoácido	Costo \$/100g	Método de producción
Alanina	1.34	F
Ácido glutámico		
Alanina	25.50	E, C
Alanina	9.66	C
L-arginina	11.70	F
Ácido aspártico	5.10	E
Alanina	22.50	E
Ácido glutámico	238.0	E
L-alanina	19.10	F, C
α-metilalanina	9.45	C
L-alanina	46.50	F
glutamina	2.62	C
α-hidroxilamina	24.45	F

Tabla 1-1. El sistema nutricional en nutrientes sintéticos.
En producción orgánica, ex. extracción.¹²⁾

1.2.4. EFECTOS DE LOS ANTIMOCIDOS.

La eficiencia máxima en la síntesis animal de las proteínas se consigue solamente cuando se dispone de todos los aminoácidos esenciales necesarios como piezas, de una combinación en las cantidades y relaciones adecuadas. Si las relaciones de aminoácidos presentes en los tejidos no se ajustan al patrón óptimo, resulta una

situaciones no equilibradas.

Primero, el exceso de aminoácidos esenciales se desprenden en fragmentos metionina más menos valiosos; y segundo, este exceso de aminoácidos, reduce la utilización de otros aminoácidos en las sintesis proteicas.

Como el animal no sintetiza aminoácidos esenciales, estos deben ser proporcionados por una fuente externa. Así pues, el valor biológico o nutritivo de una proteína está determinada en gran parte por la cantidad y proporción de aminoácidos esenciales que contiene.

Las proteínas vegetales en general son relativamente deficientes en lisina, arginina y triptófano, lo que convierte aún más la fibra en valor nutritivo y convierte especialmente a la industria química sanitaria.

Debido a que en muchas regiones subdesarrolladas, las personas provienen exclusivamente de fuentes vegetales, existe un serio problema de nutrición, y por consiguiente todos los problemas que surgen ante esta fecha.

La lecistina es un aminoácido con características terapéuticas, además de ser precursor de algunos fármacos con propiedades medicinales como la Siderobacmetilcisteína y la N-acetilcisteína ampliamente utilizadas en la industria farmacéutica.

CAPITULO 2

2. GENERALIDADES

CISTEINA

Nombres químicos:

Acido 2-amino-3-mercaptopropionico
Acido aminosulfonilpropiónico

Número de registro en Chemical Abstracts:

cisteina 11501-47-9
L-11501-47-9
D-11501-47-9
DL-11501-47-9

Fórmula Molecular:



Peso molecular:

123.16

Estructura y síntesis de los aminoácidos



L-α-alanida



D-β-alanida

Fig. 2.1. Estructura y síntesis de los aminoácidos de la vitamina.

2.1. HISTORIA Y AISLAMIENTO.

En 1810 Voltaire²⁹ describió un compuesto orgánico, el cual fue aislado de dos piedras marinas; es insoluble en hidrocarburos y aceites, y se separa de soluciones alcalinas establecidas con ácido sulfúrico en forma de cristales hexagonales. Voltaire le asignó el nombre de "peyote azul" debido a su naturaleza anfotérica y a que se acumula en la vegetación. La sustancia cuando se quema da una llama azul y un olor característico desagradable, pero a pesar de este fenómeno el cual Voltaire reportó tan duramente, la presencia de azufre no fue reportado. El compuesto fue analizado por Thauzin en el laboratorio de Liebig y reportó la fórmula correcta $C_8H_{17}H_2O_6S_2$ de la cistina; el nombre de cistina es introducido por Berzelius en 1833.

Aunque se conocía la existencia de azufre en muchas proteínas, la relación del azufre con la cistina fue sospechada por mucho tiempo.

El tiempo que transcurrió entre el descubrimiento de Voltaire en 1810 y el aislamiento hecho por Horner en 1899 de un hidrolizado de cuero fue largo, debido a diferentes factores:

a) El uso de ácido sulfúrico como un agente de hidrolizado para proteínas y su posterior precipitación como sulfato de calcio, impidió a la cistina.

b) El uso posterior de ácido clorhídrico como agente de hidrolizado, más invariablemente en la presencia de cloruro estannoso, el cual redujo la cistina presente a cisteina, fue la causa de no poder

detectarla.

En 1890 Kula reportó que una mezcla de catorce partes iguales de fibras y de pancreas finamente picado, después de digestión en una suspensión acuosa por dos días en presencia de sulfato de calíndola como antiséptico, seguido por filtración y condensación del filtrado, produjo un precipitado blanqueo, que al analizarlo fue cistina.

No después de mucho tiempo, Suter en 1893 empleando una reacción la cual fue descrita por Fleischmann pudo detectar cistina en una proteína hidrolizada.

Esta reacción depende del hecho de que la cistina es muy labil en álcali caliente. Todo el nitrógeno aparece como amoniaco, mientras el azufre aparece como un precipitado blanqueo de sulfuro de plomo, cuando se trata con álcali en presencia de acetato de plomo.

Puesto que las queratinas también dan reacción al igual que los cuernos, se pensó en la probabilidad de que esta proteína contenga una cantidad apreciable de cistina. Suter trabajó con los filtrados de cuernos pero no pudo aislar fácilmente la cistina. En 1890 Horner logró aislar la cistina. El material proteico es calentado entre 90-95°C. en ácido clorídrico al 15% durante 1-2 semanas, y después de un tratamiento logró que la cistina y la tirosina precipitaran. Estos dos aminoácidos insolubles se separan por cristalización fraccionada con amoníaco diluido. La tirosina precipita con amoníaco muy diluido, mientras todo la cistina permanece en solución. Cuando la hidrólisis se realiza por no más de una semana, los cristales de

estos cristales se observan en forma hexagonal y poseen la misma rotación específica para la amilasa de las píldoras del azúcar, un factor mayor de 800¹. Horner hace una interesante observación que cuando la hidroxilasa actua de la protoetina se prolonga a otro compuesto, se obtiene una variedad más estable y menor tóxopatía de la etina y además su cristalización es en forma de agujas, encontrándose una gran variación entre sus propiedades químicas y analíticas. Esto hace pensar a Horner que las agujas eran una mezcla de α -etina, β -etina y γ -etina.

La concepción antropológica de Höller, sin embargo, es particularmente interesante en tanto de que la formulación de un discurso, al igual permite la existencia de dos centros autoritarios en la noción.

Beumann trató la clorina con estadio y acido clorhídrico obteniendo un compuesto fácilmente soluble que aparentemente la misma composición elemental pero con diferentes propiedades, incluyendo una baja reacción negativa en ácido. El análisis mostró y los disolvio en etanol, obteniendo el compuesto libre lo que el clorino no conseguía. Beumann formuló la siguiente reacción de oxidación-reducción:

LEADERSHIP



10. 2. 2. *Platynus* is often confused with *Platynotus*.

Hasta esa fecha no se conocía la estructura de la cistina, y después de varios experimentos se llegó a la estructura correcta en 1905.



Fig. 2. S. actividad de la cistina.

El problema de estereoisomerismo mencionado por Horner fue analizado en 1905 por Neuberg y Mayer, quienes utilizando los resultados encontrados con el ácido tartárico, son los primeros en aplicar los términos racémico y mesoísmico a el caso de la cistina.

Estos autores encontraron que cuando la cistina se calienta con 15-20 partes de ácido clorídrico concentrado en un tubo cerrado a 165°C se pierden todas las trazas de actividad óptica. La inactividad óptica de la cistina, la cual es mucho más soluble que el material de inicio, es considerada como una mezcla de formas L y D,L. Esta mezcla no se separa, pero se comprueba la presencia de la variedad racémica al someter la mezcla isolada de inactividad óptica a la acción de *Aspergillus niger* durante seis semanas. Toda la cistina residual se sintetizó después de la digestión por la acción del acetato de mercurio, y al analizar su rotación se obtuvo una $\text{[}\alpha\text{]}_D^{25} +22.8^{\circ}$ en solución de HCl. La presencia de L-cistina en la preparación, unido

la inclusión de metionina en la mezcla original que era inactiva, mientras que el bajo valor de la reducción se considera que se debe a la presencia de metionina. La mezcla original aparentemente inactiva de las formas cu y seno de cistina se redujo completamente con esteño en HCl a dihidrocistina (DH).

Sección igualmente alio cistina del hidrolizado de cuero y otras proteínas tales como albúmina por medio de dos métodos, utilizando hidróxido de cobre y cloruro mercurico como agentes de precipitación de la cistina.

A continuación se muestran las formas del mercapturo de cisteina:

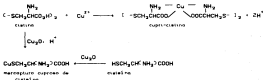


Fig. 2.4 FORMAS DEL MERCAPTURIO DE CISTINA.

La dihidrocistina puede separarse del clorhidrato de cistina, por los siguientes métodos:

- por adición de acetato de sodio o solución de amoníaco hasta un pH de 9.8 o;
- por cristalización en agua.

Es posible el uso de cloruro cuproso en lugar de óxido cuproso para la sucesiva reducción de cistina y precipitación del mercaptocuproso:



o con cisteína:



Fig. 2. G. Reducción con cisteína difusión.

Un exceso en el empleo de Cu_2Cl_2 durante la reacción es letal para las bacterias de plata. También forma mercaptocupruco cuando se deja reaccionar con cistina.

El procedimiento del enlatamiento de la cistina ha sido refinado por el uso de óxido cuproso como agente de precipitación, y éste es probablemente el procedimiento más elegante del enlatamiento de este aminoácido y de su producto de reducción, la cisteína, de fuentes biológicas. A continuación se detallará el procedimiento detallado del enlatamiento de la cistina.

2.3.1. Aislamiento de cistina a partir de proteínas.

Una proteína apropiada se pone al reflugo con 10 veces su peso de HgSO_4 9H por 24 horas. La mezcla se trata con Norite, se filtra y el filtrado se diluye con aproximadamente seis veces su volumen de agua. La solución clara se agita fuertemente, manteniendo la temperatura

entre 45-50°C y se adiciona una suspensión acuosa de óxido cuproso-puro en porciones sucesivas, esperando entre cada adición hasta que el calor roto del óxido desaparezca. Durante este tiempo aparece un precipitado gris del mercapturo cuproso de cobre(II).

Al final de la reacción se determina cuánto pertenece al óxido roto o el precipitado presenta un color rojo. No es perjudicial un exceso de óxido cuproso, pero por razones obvias no es conveniente. Cuando la precipitación es completa, se adiciona una solución de acetato de cobre al 50% en agua con agitación hasta que la reacción es alcalinizada a rojo Congo.

La suspensión se deja en reposo por 1-2 horas a temperatura ambiente y se centrifuga. La parte clara que se forma se descarta. El residuo se suspende en agua y se lava siguiendo rigurosamente en una botella de centrifugación y el precipitado de lava, después se centrifuga, y la lava se nueva se descarta. El líquido para lavar que se usa es etanol al 50%. El mercapturo se suspende finalmente en agua, y se disuelve por adición de bastante HCl en aumentando la temperatura a 50°C y se descompone con una corriente de H_2S gas. El sulfuro cuproso se centrifuga, se lava con agua caliente a la cual se le ha agregado unas gotas de HCl concentrado, se centrifuga nuevamente y se combinan las soluciones. Esta solución de uncristina se trata con NH_4OH concentrado hasta un pH de 6.5 y se burbujea una corriente de aire húmedo directamente hasta que la reacción con nitroprusato sea negativa. La adición de agua adicional induce la cristalización de uncristina. Después de enfriar por horas a 5°C, la cristina se colecta por filtración, se lava bien con agua, se disuelve en una mínima cantidad de HCl, se filtra y se le adiciona una solución acuosa de acetato de cobre al 50%, hacia reacción alcalina con rojo Congo. La obtención de la uncristina pura es del 90%.

El siguiente procedimiento es aplicable para el aislamiento de cistina o cisteína o mezclas de ellas, apartir de proteínas hidrolizadas. Este método no requiere de la etapa de precipitación con sales perjudiciales.

2.1.2. Aislamiento de L-cistina a partir de proteínas hidrolizadas.

El cabello u otras queratinas se lavan muchas veces con agua y se secan. Dos 1g. de cabellos se ponen en un matraz de fondo redondo de 12 L. y se le adicionan 5 L. de una mezcla de HCl 50% en alcohol formico al 15%. Se pone bajo refrigerio durante 10-15 hrs. La mezcla se trata con 50g de Norita, se filtra en caliente y se evapora a vacío hasta obtenerse un jarabe espeso. Al residuo se le adiciona 1 L. de agua y se trata con una solución gruesa caliente de acetato de sodio al 50% en agua hasta que la reacción es alcalina a rojo Congo. Despues de tres días a temperatura ambiente, el precipitado de cistina se filtra por succión, se lava con agua caliente y se coloca con 3 L. de HCl caliente al 5%. La mezcla se filtra, se calienta con 50 g de Norita, y se filtra de nuevo. Si algo de color permanece, el filtrado se trata nuevamente con Norita. La ultima filtración se hace bajo gravedad para remover todo el carbon. La cistina se precipita de la solución clara adicionando una solución acetato de sodio al 50% en agua hasta que la reacción es alcalina a rojo Congo. Despues de 5-6 hrs. de reposo a temperatura ambiente, la cistina se filtra bajo succión y se lava dos veces con porciones de 500 ml. de agua caliente para remover las ultimas trazas de triptamina. El tratamiento previo con Norita y luego con agua caliente, debe eliminar la contaminación por triptamina. Sin embargo, algunas trazas de este amoniacado permanece, lo cual se revela por una reacción de Millon's débil pero positiva por lo que es aconsejable diluir la cistina en HCl 1N, ajustando el pH a 5, y aditando suavemente por ITR con 50g de carbon Durco G-60, el cual previamente ha sido agutado con

acido acetico al 5% (v/v) por hora y despues lavado con agua. Esta preparacion del carbon lo hace un excelente absorbente de amoniacado aluminico. El uso de mucho carbón en el jarro del aluminio reduce el rendimiento de la uncistina, debido a que este amoníaco se absorbe en parte. Si es deseable evitar el uso de mucho carbon, es posible prevenir la contaminación por uncistina con el empleo de sales de color insolubles de cistina descritas anteriormente.

La calidad de la cistina puede ser mejorada por los siguientes alternativas:

a) Por adición de una solución de hidróxido de amonio. Filtrando para eliminar las trazas de materia insoluble y precipitando con HCl.

b) Por disolución de la cistina a temperatura de ebullición en el menor volumen posible de HCl y adicionando dos volúmenes de alcohol caliente; posteriormente, la cistina se separa en largas pilas con un rendimiento de cerca del 75%. Lo que permanece en solución se recupera por neutralización. El producto final es lavado con etanol y despues con agua. Se seca y se obtiene 100g de uncistina pura.

2.2. REACCIONES ANALITICAS ESPECIFICAS.

Se han desarrollado un gran numero de procedimientos gravimetricos, colorimetricos y titulaciones para la determinación de cistina despues de que se ha convertido a uncistina. Tales procedimientos dependen en parte de:

- a) La labilidad del grupo disulfuro de la cistina que experimenta una desproporción con metales pesados y con ciertos reactivos químicos.
- b) La marcada labilidad del azufre de la cistina y cisteina hacia el alcali e hidroxima.

- c) Las reacciones de óxido-reducción en las cuales el grupo sulfidrilo de la cistina puede participar.
- d) La propensión de este fision de formar colores conjugados con varios reactivos y de aquí se puede estimar por medias colorimétricas o espectrofotométricas. La titulación del grupo sulfidrilo se puede llevar acabo directamente por la aplicación de métodos como titulación, acidometría y potenciometría.

2.2.1. LABILIDAD ALCALINA DEL SULFURIO.

Las proteínas se tratan con álcalis fuertes en caliente en presencia de boroato o sales de plomo, y los sulfuros precipitados se filtran y se oxidan a sulfatos para ser por último cuantificados gravimétricamente después de su conversión a sulfatos de berilio.

Schultz logró refinar este procedimiento por adición de zinc en polvo durante la descomposición alcalina. Solamente la mitad del total de azufre se recuperó como sulfuro. Actualmente se utilizan métodos modernos exactos para tal efecto. Por lo tanto, considerando que el azufre de la cistina no es altamente labil y el rendimiento del sulfuro no es muy cuantitativo bajo condiciones fuertemente alcalinas, la cistina libre bajo estas condiciones no se degrada completamente.

El análisis de los productos de la degradación alcalina de la cistina sugiere la siguiente secuencia de reacción:



y



fig. 2.6. reacciones de hidrólisis enzimática de la cistina.

La acción de un álcali fuerte en la cistina da bajos rendimientos cuantitativos de sulfuro, que de acuerdo a Bergmann y Stather, presentan el siguiente curso de reacción:

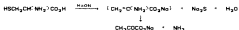


fig. 2.7. reacciones de hidrólisis alcalina de la cistina.

Esto es la misma reacción que se produce cuando la enzima, catépsina desulfirasa, actúa sobre la cistina a un pH neutro.

2.2.2. HIDRÓLISIS.

Este procedimiento es relativamente simple para la determinación total de cistina y cisteína en una muestra biológica. Este método fue

desarrrollado por Durstom, Ohno y Alvaro. Aunque este autor ha hecho bajo descomposición reducida con hidroxalina a 120°C., de H₂S una cantidad resiente, en la metionina no la taurina da H₂S bajo estas condiciones.

Determinación de cistina y cisteína vía hidroxalina.

Una muestra biológica conteniendo de 10 a 20 moléculas de cistina o cisteína o ambas, se traza con 0.5 ml. de hidroxalina (10% NaOH y la muestra se calienta en un baño de acetato a 115-120°C durante 20-30 a refrigerio. El extracto se enfría, el refrigerante se enjuaga con agua y el contenido se transfiere a un frasco volumétrico y se diluye a 5 ml. de agua, que la solución contiene 1-3 moléculas de H₂S. Entonces SeL se transfiere a un matraz. Se colocan 10 ml. de HgO₂. Si, teniendo un equipo especial que permite la salida de los gases, y se le pase una corriente de hidrógeno a razón de 3 L por hora. Es necesario calentar la muestra entre 80-90°C para permitir la expulsión del sulfuro de hidrógeno completamente. El sulfuro de hidrógeno se pasa a una solución de acetato de zinc en 5 ml. de agua (80 g de acetato de zinc, 17 g de acetato de sodio, y 0.005 g de cloruro de sodio en 1 L de solución acuosa). Cuando todo el sulfuro de hidrógeno ha sido absorbido por la solución del acetato de zinc, el tubo de comunicación se desconecta y se lava con agua. A esta solución se le adiciona 5 ml. de dimetil-p-fenilendiamina C. O. S g del clorhidrato en 1 L de una solución acuosa conteniendo 500 ml. de HgO₂ concentrado) e inmediatamente 1 ml. de sulfato ferroico amoniacal (30 g de sulfato ferroico amoniacal disuelto en agua). Despues de 1 h la solución colorida resultante se diluye 5 a 10 veces con agua y se mide su absorción en una longitud de 620 nm. El resultado se compara con una serie estandar de cistina.

B.B.9. DETECCION QUANTITATIVA.

Cuando un compuesto sulfhidrilico se le permite reaccionar con una solucion alcalina de nitroprusato de sodio se desarrolla un color magenta. Aunque esta formacion del color es conveniente para pruebas cualitativas de cisteina en solucion, la intensidad del color no es suficientemente reproducible para permitir una estimacion quantitativa del anionacoido.

La prueba no solo es especifica para mercapturicos, sino tambien para sustancias tales como acetona, acetoadetato y creatina.

Deteccion qualitativa de mercapturo vía reaccion con Nitroprusato.

A unos 0.5 ml de la muestra se le adiciona una gota de cloruro de potasio en solucion 0.1 N para prevenir la inhibicion de la formacion del color debido a la presencia de metales pesados. La muestra se trata despues con una gota de una solucion recientemente preparada de nitroprusato de sodio al 9% y una gota de hidroxido de amonio al 87%; cuando la reaccion es positiva se desarrolla un color magenta.

La detección de cisteina y cystatina por cromatografia en papel se puede llevar a cabo directamente usando nitroprusato o reactivos de platino, esto fue descrito por Toennies y Kolb, quienes usaron papel Schleicher y Schull No. 5009 y como disolvente para la separacion cromatografica fenol-isopropanol-agua C70:5:250. Se emplean tres soluciones, a decir:

A) Una solucion de 1.5 g de nitroprusato de sodio en 5 ml de H_2SO_4 8N se le adicionan a 95 ml de metanol y 10 ml de NH_4OH conc., despues por filtracion se separan los sales.

B) Una solución de 2 g de cloruro de cobre en 5 ml. de agua se le adicionan 60 ml. de metanol.

C) Se mezclan iguales volúmenes de las soluciones A y B.

Los compuestos sulfidrilo se detectan por la aparición de un color rojo brillante inmediatamente después de sumergir el papel en la solución A. Los compuestos disulfuro a pocos segundos de sumergir el papel en la solución B. El desarrollo del color es el siguiente; primero toma una coloración amarilla pálida, después se pone verde y finalmente persiste la mancha roja. Si la diferencia del color del sulfidrilo y disulfuro no es deseable, es conveniente una simple inmersión en la solución C. La reacción colorida es sensible para 0.3-0.6 µg de cistina. La Arginina da un color naranja.

2.3. RADICACION.

Con excepción de la cistina que ha sido preparada ópticamente activa, utilizando materiales para tal efecto, las sintesis generalmente producen una mezcla de cistina racémica. La forma meso se obtiene bajo condiciones en las cuales la inversión ocurre en uno o en los dos centros enantióticos de la molécula de cistina, y bajo estas condiciones las formas L y D se producen por inversión de ambos. Aunque el reconocimiento de los diferentes formas estereoisoméricas fue realizado por Horner en 1909, la identificación de los estereoisómeros ocurrió muchos años después. La separación de los diastereoisómeros por cristalización fraccionada en agua fue descrita por Lorrig y du Vignaud.

Recristalización de L-cistina y separación de diastereoisómeros D y L-cisteína

Una solución de 100 g de L-cistina en 1 L de HCl 3N se refloja por cinco días. La solución se decolora con Norita y se concentra a vacío hasta que el material solidifica. La mezcla se disuelve después en 1 L de agua y se neutraliza a Rojo Congo por adición de NH₄OH diluido. El precipitado de L-cisteína se disuelve en una pequeña cantidad de HCl 3N, se diluye con 700 ml. y nuevamente se decolora con Norita. Después de neutralizar, como arriba, el precipitado de cistina ópticamente inactiva se filtra después de 24 h a una temperatura de 4°C obteniéndose un rendimiento de 80%.

80 g de cistina inactiva se disuelve en 200 ml de HCl 3N y la solución se concentra a vacío a 40-50°C hasta la formación inicial de cristales. La solución se enfria a temperatura ambiente y los cristales se separan por filtración una hora después. Los cristales se lavan con agua de hielo y una mezcla de partes iguales de alcohol y eter conteniendo 5 ml de HCl conc. por 100 ml de solución, obteniendo 30 g. Los lavados se adicionan a las aguas madre y nuevamente se concentran por evaporación para repetir el procedimiento. Así se obtiene una segunda fracción de 10 g. Dos recristalizaciones de la primera cosecha y tres o cuatro de la segunda cosecha es suficiente para obtener L-cistina-HCl puro. Las recristalizaciones se realizan disolviendo el clorhidrato en 6 volúmenes de agua conteniendo suficiente HCl para mantener la cistina en solución y después adicionando a dos partes de esta solución una parte de HCl conc., agitando finalmente la cantidad de 15-25 g de DL-cistina-HCl.

El filtrado y los lavados de la segunda fracción se concentran para obtener cristales de la forma meso en bajo rendimiento. Estos se filtran obteniendo 20-25 g y se recristalizan inicialmente por una solución de HCl 3N, después se concentra la solución a un jarabe a vacío y finalmente induciendo la cristalización del clorhidrato por raspar vigorosamente los lados del vaso con una varilla de vidrio.

Tres cristalizaciones con sulfato de zinc para obtener α -cisteína-HCl pura en una cantidad de 8710 g.

La liberación de los clorhidratos ya se mencionó anteriormente (ver sección 2.1).

2.4. REDUCCIÓN

La cistelina es el derivado más simple obtenido por reducción de la cisteína. La preparación clásica fue hecha por Baumann, quien redujo la cisteína a α -cisteína-HCl por la acción del estano a una solución de cisteína en ácido clorhídrico.

Reducción de cisteína a cistelina.

50 g de cisteína se disuelve en 1 l de HCl 3N, se adicionan 25 g de estano y la mezcla se pone a refluo por 2 h (Precaución: durante la reacción se desprecia hidrógeno). Al finalizar el periodo de calentamiento la mezcla se enfría, y el metal que no se disolvió se filtra. El filtrado se diluye con dos volúmenes de agua, y se satura con H_2S gas. El sulfuro de estano se filtra con la ayuda de Norita y el filtrado se evapora a vacío por medio del cual el agua de cristalización se pierde. Si el secado se lleva a cabo a 100°C no solamente se pierde el agua sino también la mitad del HCl. El rendimiento de la α -cisteína-HCl anhidra es casi del 90%. La cistelina también se puede obtener por una hidrogenación de cisteína catalizada en presencia de paladio, pero este procedimiento no es generalmente usado.

La α -cisteína libre se puede obtener disolviendo α -cisteína-HCl en una misma cantidad de etanol a temperatura ambiente y se le adiciona cuidadosamente, goteando, una solución de amónico al 25% o LiOH a H₂ neutralidad (con papel tornasol). La cisteína rápidamente precipita. Se filtra de inmediato y se recristaliza en la misma cantidad de agua, la cual previamente se ha hervido para expulsar el aire. Luego

de cristalizar en el recipiente de filtrado y se introduce a un desecador previamente lleno con nitrógeno, p/p 99.9%. Bajo una atmósfera expandida al aire, la cistina se convierte por condensación a cistina. El compuesto también puede obtenerse por disolución de cistina-HCl en 7 ml de agua con un breve calentamiento, adicionando 130 ml de etanol y luego, filtrando la mezcla si es necesario, y adicionando 2.3 ml de parafina con agitación, con lo cual evita la cristalización de la cistina libre. Despues de enfriar por 2 h, el precipitado se filtra y se lava seis veces con dihidróxido, y se seca a vacío en un desecador conteniendo H_2SO_4 , conc.

2.5. RESOLUCION.

Un refluxo prolongado de cistatina en HCl concentrado produce una cistina ópticamente inactiva, du Vigneaud y colaboradores encontraron que la composición de la mezcla era de cistina L y D; las sales formadas fueron insolubles y por medio de cristalización fraccionada se lograron separar. Otro procedimiento de obtención consistió en adquirir una mezcla semejante y la mezcla de los derivados acetilados fue tratada con prudina, el primer precipitado fue la sal del alcaloide de acetil-D-cistina, la cual después de 18 cristalizaciones, se obtuvo en cistina con $[D]_D = +218^\circ$ en HCl. Con esto se comprueba la presencia de D-cistina en la mezcla original. Una mezcla de cistina L y D fue puesta en una columna con Dowex 50, y la forma neutra fue purificada en etanol, pero la separación no fue satisfactoria.

Podemos dividir en tres las técnicas utilizadas para la resolución de la diastémina en:

- a) Métodos Cromatográficos
- b) Métodos químicos
- c) Métodos biológicos

2.5.1 Métodos Cromatográficos:

Se han realizado resoluciones de la diastémina por columna utilizando derivados de este aminoácido donde la columna se empaca con celulosa¹⁴ (Merck Celulose 2000)/C₆ activado o también se puede utilizar una columna de 19 mm de diámetro y 30 cm de largo, empacada con 7%g de almidón¹⁵ donde se aplica 2g de diastémina disuelta en 15 ml de HCl 1 N y se eluye con HCl 1 N separando fracciones de 5 ml.

La cromatografía de gases¹⁶ se ha llevado a cabo con éxito utilizando una fase estacionaria de poliisotiociano. La HPLC^{17,18} en fase inversa usando como agente de resolución la-particiclo hexilamida-Cu, también ha tenido éxito.

La cromatografía en capa fina donde los platos quirales son impregnados con un selector quiral y un metal divalente de transición tiene gran éxito por su rapidez y facilidad del método¹⁹.

2.5.2. Métodos químicos.

método	reactivo	separación
sales diastéreas tóxicas ¹⁸⁸	Acido mandelico	crystalización
derivados ¹⁸⁹ diastéreas tóxicas	α-C<=O-pigmentos β-C<=O-pigmentos γ-C<=O-pigmentos ε-C<=O-pigmentos	crystalización crystalización crystalización crystalización

Tabla 2.1. Separación de cistinas por métodos químicos.

2.5.3. Métodos biológicos.

Esta clase de métodos son muy numerosos y aunque en rigor no cumplen con la definición de la resolución se basan en la capacidad que tienen algunos organismos que metabolizan solamente uno de los enantiómeros.

2.6. USOS

El carácter oxi-do-reductor de este aminoácido es el factor principal en cuanto a su uso, principalmente en el campo de la fotografía y corrosión.

Debido a que la cisteína se encuentra en gran proporción en el cabello se han hecho estudios para el tratamiento de la seborrea utilizando en forma de champú.

Su carácter quelante con metales pesados se ha aprovechado como

desanercurizante en parásitos y en análisis químico de tejidos.

El campo más importante en cuanto a su estudio y aplicación es el biológico y farmacéutico.

La Anestesina es un anestésico con características terapéuticas, además de ser precursor de algunos fármacos con propiedades analgésicas como la Carbamolactamina o la Niacetilacetina ampliamente utilizadas en la industria farmacéutica.

CAPITULO 3

3.1. PROBLEMA:

Como en muchos otros productos de consumo nacional existe dependencia material y tecnologica en la produccion de Encarnacion sintetica. Esto como de algunas otras materias primas de la industria farmaceutica, ya que la sintetica utilizada para la produccion de la Encarnacion sintetica es de origen extranjero, por lo que se considera de gran importancia los trabajos que contribuyan a la produccion de esta materia prima en nuestra pais.

3.2. HIPOTESIS:

Entre los fármacos que son susceptibles de producirse en Mexico tanto por las vías descritas en la literatura como por nuevas rutas de síntesis a partir de materias primas de origen nacional, se encuentra la encarnina.

La posibilidad de optimizar una síntesis química, utilizando únicamente materias primas de origen nacional hace factible de realizar su desarrollo a nivel industrial.

3.3. OBJETIVOS:

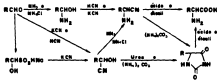
Seleccionar una o dos vías de síntesis para desarrollar y optimizar cada una de los pasos en la obtención de la encarnina, tomando en consideración que se requiere utilizar materias primas de origen nacional, de bajo costo y procesos industrialmente rentables para que la síntesis pueda ser considerada como un proceso industrial factible.

CAPÍTULO 4

4. PLANTEAMIENTO DE LA SÍNTESIS.

4.1. Síntesis generales de aminoácidos^{1,2,3,4}

4.1.1. Síntesis de Strecker y sus modificaciones.



4.1.2. Aminación de ácidos α -halogenados.



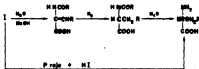
4.1.3. Reducción de nitró-ácidos, amoniacados y derivados de carboxílicos.



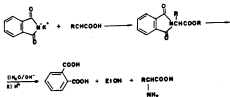
4.1.4. Oxidación de amino alcoholes.



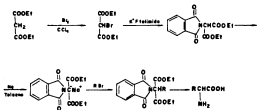
4.1.5 Condensaciones de Aldehídos con compuestos que contienen un grupo artiletino activo.



4.1.6. Síntesis de Dabril.



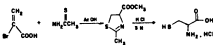
4.1.7. Condensación con esteríos azucreo salicílicos. H-azuleno-1,1-dioles.



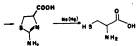
4.2. Síntesis de Cistelina.

4.2.1. A partir de derivados del ac. acrílico¹³¹.

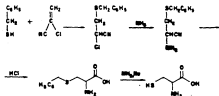
4.2.1.1. de derivados del ac. acrílico¹³².



4.2.1.2. Síntesis de Behringé¹³³.

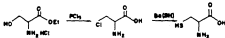


4. 2. 1. Síntesis de Guanopatentina¹⁹

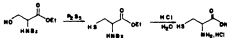


4. 2. 2. a partir de serina²⁰

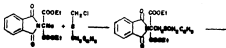
4. 2. 2. 1. Fase 1 (GABA).



4. 2. 2. 2. Etapa número 1 (GABA).

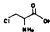
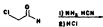


4. 2. 3. A partir de Malonato. Woodward (1950)¹¹

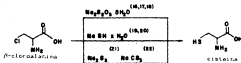


4. 2. 4. A partir del clorocetaloide.

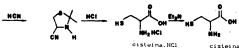
4. 2. 4. 1. β -cloralanina¹²:



β -cloralanina



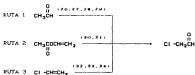
4.2.4.2. Atravida do la δ^2 -Tiazolino[2,3-*c*]Pte.



4.3 SÍNTESIS MAS AFACTIBLES.

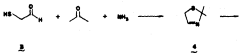
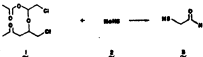
Después de analizar las síntesis informadas, se seleccionaron por su viabilidad las rutas 4.2.4.1 y 4.2.4.2. Entre ellas hay mucha similitud ya que utilizan los mismos reactivos inorgánicos y otras partes del cloracetaldehido.

Puesto que el cloracetaldehido no es disponible en nuestro país, hace necesario su síntesis, de la cual se encontraron en la literatura las siguientes posibilidades:



Una vez desarrollada la técnica para la obtención del cloracetaldehido en forma de hemiacetato se eligió la ruta 4.2.4.2 para iniciar la obtención de cistina ya que se ha encontrado que es la única síntesis que está total informada.

4.2.4.2. A través de la α^2 -Dianolina^{21,22,23,24}:

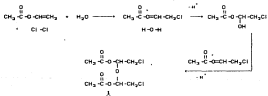


CAPITULO 8

5. DISCUSIÓN.

Para el proceso de preparación del hemiacetato del cloracetacetaldeido 3, a partir del acetato de vinilo (vista 2), en los experimentos iniciales se ejecutó fielmente la técnica descrita en la literatura^{19a}, siguiendo el curso de la reacción por CCF cromatografía en vaso final, mediante la cual y al término de la reacción se aprecian tres compuestos cuando el pH es 1 y al incrementarlo por adición de NaHCO₃ salido hasta 6 se observa que predominia una mancha, lo cual significa que hay un desplazamiento hacia la formación de un producto. Las características del producto obtenido concuerdan plenamente con lo informado y que corresponde al hemiacetato 3 CHHO.

La formación de 3 se explica de la siguiente manera:



Los rendimientos que se obtuvieron de 3 determinados por GC Cromatografía de gases, en los primeros experimentos fueron bajos, pero aumentaron para hacer los siguientes experimentos al aumentar la temperatura en el horno estableciendo así muy importante para obtener un buen rendimiento. También se observó que 1 es más estable que 2, ya que de 1 se obtiene más rápidamente el rendimiento de la reacción, reacción donde además de que la unión siendo que en sus principios es rápida toma una etapa de amarilla al transcurso del tiempo.

Cuando se hace reaccionar la solución etérica de 1 con la solución acuosa del bisulfuro de sodio 2, se forma un precipitado blanco, al cual se le determinó un espectro de IR que al compararlo con la información²⁰ para el aldehído tricloroacético se forma una ecuación que en el caso 2 se encuentra que son iguales.

Siguiendo variar la técnica con el objetivo de trabajar con el disolvente arrollado y así evitar impurezas, se varió el tiempo de adición y orden de los reactivos, así como también la temperatura y la reacción se efectúa también en atmósfera normal (air) como en atmósfera de N_2 . Sin embargo con estas variaciones no se logró incrementar el rendimiento.

Al compuesto 3 generado durante la reacción y sin purificación alguna, se le adicionó la acetona y el hidróxido de amonio de acuerdo con la siguiente secuencia:



en la cual se forma el complejo A. Caracterizado por las V BIMD.

La reacción se siguió por OCF y el utilizar el aldehído tioglicídico generado in situ nos proporcionó un rendimiento del 80% de A basado en el acoplamiento de vinilo. Comparando este rendimiento con el obtenido a partir del dímero se concluye que tanto el monómero, como el dímero y el polímero del aldehído tioglicídico tienen parte de la reacción. Al igual que en los casos anteriores las primeras pruebas nos dieron rendimientos bajos, pero al encontrar las condiciones para seguir la reacción por OCF nos facilitó este paso ya que inicialmente se seguía por CO, lo cual impidiaba tendencia en el análisis y como consecuencia un tiempo prolongado de reacción que es contraproducente debido a que se favorece la formación de subproducción, detectadas fácilmente por OCF al apreciar la aparición de nuevas manchas.

La obtención del compuesto 5 es una etapa muy difícil de realizar ya que de no efectuarse los pasos anteriores cuidadosamente, las impurezas que pudiera contener el producto una buena adición del

cloruro en C₁₄; además de que las condiciones de esta reacción deben ser cuidadosamente seleccionadas. El seguimiento parcial de la reacción se hace por CCF, pero ésta presenta la limitante de que el Pd de la muestra prima y el producto son muy semejantes y aunque se trabaja cuidando las condiciones de la CCF no se logra distinguir un sistema donde se pudiera fácilmente diferenciar Δ de β . Otro método de seguimiento es por CIR en la que se puede observar la conversión de Δ . La caracterización de β se hace por RMN. Hasta esta etapa de la síntesis logrando obtener un rendimiento del 60% a partir del acetato de viniliclo (determinado por HPLC).

Debido a la instabilidad de β que se pudo observar por CCF además de que la solución resultante que en su principio es amarilla su堆na roja al transcurso del tiempo, se hizo necesario hidrolizarla una vez formada y sin purificación alguna.

La hidrólisis de β nos produjo gran dificultad tanto para efectuarla como para purificar el producto.

Se llevaron a cabo algunos experimentos para determinar las mejores condiciones para la hidrólisis. Inicialmente se probó HCl 2N, pero al mantenerlo el tiempo de refluxo por 24 h no lograron observar la formación de β siguiendo la reacción por CCF y utilizando para tal efecto un aliíenuo modificado¹⁰ que nos permitiera efectuarla en placa de sílice en lugar de papel. Luego cambiamos la concentración del ácido a 6 N y pudimos detectar a β pero al intentar purificarlo nos encontramos la dificultad de eliminar el NH₄Cl formado porque una

vez evaporada a presión reducida la solución resultante de la hidrólisis, la cisterna cruda se disuelve en MeOH para separar la sal por filtración. Sin embargo el MeOH no disuelve parte de esta sal y además todas las impurezas también eran disueltas por el MeOH y por lo tanto no se logró purificar la cisterna cruda.

En un experimento posterior lograron observar que al adicionar HCl concentrado a la solución estandarizada, se formaba un precipitado blanqueo que al analizarlo correspondía al NH₄Cl. Despues de eliminar dicha sal se le adicionó el agua suficiente para tener una solución de ácido G-N y se reflujo la solución. Al analizar la reacción por CCF encontraron que había menos impurezas y además lograron eliminar el NH₄Cl.

Con lo anterior se apreció la formación de β , pero al intentar aislarlo por los métodos descritos (ver parte experimental 6.a) no se alcanzo el objetivo.

Aunque se variaron las condiciones de temperatura, tiempo y presión de la hidrólisis, el aislamiento de β en forma pura no se lograba.

Hasta aquí habíamos podido resolver el problema de la hidrólisis y el que se nos presentaba era el de encontrar un método para aislar a β en forma pura.

Por lo anterior se procedió a estudiar con mas detalle los subproductos de la hidrólisis para tener ideas de como separarlos. Se pensó que un posible intermediario de esta reacción podría ser el ácido 2,2-dimetil-dicetilindinocarbólico α debido a la aparición de

NH_2Cl proveniente de la hidrólisis del nitrato, pero al intentar analizarlo durante la reacción por medio de CCF o Cromatografía de alta resolución no se logró el objetivo.

Debido a lo anterior se procedió a sintetizarlo de acuerdo a lo informado²² y así conocer sus características.

Al efectuar la reacción para obtener $\underline{\alpha}$ utilizando LiAlD_6HCl Merck® y acetona se observó la presencia del producto al caracterizarlo por ESR el cual respondió plenamente con las características. El seguimiento de esta reacción no se pudo realizar por CCF ya que $\underline{\alpha}$ tiene el mismo Pd que β y revelan con las mismas características, y aunque nos enfocamos al sistema de la CCF cambiando el eluyente y la fase estacionaria por celulosa y el revelador por filtración de radio, no se logró diferenciar los Pd de estos compuestos. Por NPLC tampoco es posible diferenciarlos. Al encontrar que tanto β como $\underline{\alpha}$ presentan las mismas características condujo a que no se pudo concluir que $\underline{\alpha}$ fuera o no un intermediario de la hidrólisis.

El resultado de esta reacción nos hizo pensar que $\underline{\alpha}$ sería un derivado a través del cual se podría purificar β , para lo cual se sometió a $\underline{\alpha}$ a condiciones de hidrólisis obteniéndose un rendimiento de 90% y no presentó problemas alguno de purificación.

Para el aplicar la reacción para la obtención del derivado $\underline{\alpha}$ a la cisterna cruda (pastal) nos hizo variar las condiciones ya que se tiene que adicionar metanol para disolver la pasta y permitir un mejor contacto con la acetona y el rendimiento alcanzado fue bajo

debido a las impurezas. Con lo anterior pudimos detectar cisteína en la muestra de reacción no solvensada por CCP (ya que por IR las bandas aparecían con resolución y por DSC si se apreciaban las señales correspondientes pero con otras msc), sino también al formar un derivado de β lo cual no dejó duda de su existencia.

Sabiendo que la cisteína reacciona con compuestos carboxílicos para formar triacilcisteína, se optó por otro derivado. Se pensó en sintetizar otro ácido triacilindincarboxílico disustituido en la posición 2 para lo cual se eligió la ciclohexanona. No hay ninguna síntesis reportada para este compuesto y se optó por utilizar las mismas condiciones que con la acetona; después se varió la relación de los reactivos pero no hubo influencia alguna sobre la reacción. Luego se varió la temperatura encontrándose que no se requiere de calentamiento. Se logró alcanzar un rendimiento del 60% en la obtención del azúcar 2,2-pentametileno-4-acetilindincarboxílico (9) utilizando cisteína. La ventaja de usar ciclohexanona en lugar de acetona es que el ácido triacilindincarboxílico derivado de la primera tiene un IR distinto a la cisteína, lo cual permite seguir fácilmente la reacción por CCP.

Al someter la cisteína cruda a las mismas condiciones encontradas anteriormente para obtener a (9) se alcanzó un rendimiento global de 15%, el cual es mayor que el obtenido cuando se hace reaccionar con acetona.

Una vez obtenido este derivado se procedió a purificarlo, pero

esta reacción de hidrolisis no es cuantitativa. Determinado por CCF donde se aprecia producto en igual proporción que el reactivo y aunque se permiten diferentes condiciones de concentración de ácido y presión nula se logró desplazar la reacción hacia la formación de B_2 y su separación no fue factible. Por lo anterior este derivado no permitió la purificación de B_2 .

Como el tránsito de los 2 ó 3 ó 4 hidroxilos libres del B_2 para la purificación de B_2 nos impedia realizar una hidrolisis y concluyendo que B_2 es inestable en estas condiciones se pensó en otro derivado en el que la regeneración de B_2 no implicara una hidrolisis. Sabiendo que la cisteína se puede oxidar a cistina L^{C} y encontrando que tiene una gran insolubilidad en diferentes solventes y que por medio de una reacción de reducción se podía regenerar la cisteína nos inclinamos por este derivado. Primordialmente se realizó la reacción con cisteína péptido para desarrollar la técnica.

La realización de la oxidación se efectuó sin problema alguno pero donde se tuvieron que probar varios métodos fue en la reducción variando los metales utilizados (Fe, Zn y Sn). Con los tres metales se efectuó la reducción de regresión pero debido a que la oxidación del Fe no solamente da a Fe^{2+} sino también a Fe^{3+} , esto impidió su eliminación con $\text{H}_2\text{S}\text{e}$. Por lo que respecta al Zn este forma el ZnS con características que lo hacen difícil de eliminar (precipitado flotante). El SnS es el más fácil de eliminar y por lo tanto se utilizó este metal.

Al efectuar la reacción de oxidación con la cintura cruda logramos obtener un rendimiento total hasta C_2 de 14%, caracterizando C_2 por 100, y al efectuar la reacción de hidrólisis de C_2 un rendimiento del 10% a partir del acetato de vinilo hasta C_2 se obtiene rendimiento total de la ruta.

El hecho de que el rendimiento (según una del 64%) al 100% en las reacciones hidrólisis de C_2 , oxidación de C_2 y reducción de C_2 y sabiendo que las reacciones de oxidación-reducción son de rendimiento de 70% y 90%, respectivamente nos impone que la hidrólisis es el paso donde se decreta el rendimiento.

Como se contaba con la información²² de la síntesis de la 2,2-dicpentametilen-4-triazolina C_2 la cual por reducción de adición del grupo -CH al C-4 y posterior hidrólisis proporciona D_2 del cual se conocían sus características en CCF, IR y RMN ya que se había sintetizado por otra ruta, este compuesto podría ser utilizado para saber si en la hidrólisis se formaba el intermediario de ácidos 4-triacetilpentanobutílicos, en otras palabras si se hidrolizase primero el nitrilo y luego se volteo el anillo o viceversa.

La obtención de 2,2-pentametilen-4-triazolidinocarbonitrilo D_2 se realizó fácilmente desarrollando la técnica en base a la síntesis de 2,2-dimethyl-4-triazolidinocarbonitrilo, debido a que la desena usada es acetobutanona en lugar de acetona.

Buscando producir el compuesto D_2 se hidrolizó D_2 y por CCF se encontró un producto cuyo IR correspondía al IR del compuesto D_2 .

sincretado con cistina para ésta y ciclohexanona, pero nos fue imposible el diseño de la mejoría de reacción de hidrólisis por OCF y HPLC. Al continuar la hidrólisis obtuvimos el compuesto Δ_2 , el cual purificamos vía cistina pero el rendimiento fue inferior al obtenido cuando se utilizó acetona.

Como en la reacción de hidrólisis de Δ_2 ya habíamos variado temperatura, tiempo, presión, concentración del ácido y atmósfera en la cual se efectuaba la hidrólisis lo último que nos faltaba era cambiar el tipo de ácido utilizado bajo las mismas condiciones establecidas para el Ácido HCl.

Buscando incrementar el rendimiento cambiamos el HCl por los Ácidos H_2SO_4 , H_3PO_4 y HBr conc. pero no se logró mejorar el rendimiento además de que la reacción presenta mayor número de impurezas determinada por OCF y la purificación vía cistina es más difícil.

CAPITULO 6

6. Parte experimental:

El progreso de las reacciones se siguió por cromatografía en capa fina, utilizando cromatoplatas Merck de silicagel 60 F254 (0.25 mm de espesor, 8.5 cm de ancho y 10 cm de largo). Los cromatogramas de gases se determinaron en un aparato Perkin Elmer modelo 3920 equipado con un detector de ionización de llama, utilizando una columna de 6 ft por 1/8 inch rellena con OV-17. Los análisis en HPLC se realizaron en un aparato modelo Waters, equipado con una columna Radial Pak C₁₈. Las determinaciones fueron hechas por la Q. Patricia Elizalde y la Q. Elva Rojas. Los espectros de IR fueron determinados en un espectrofotómetro Perkin-Elmer 1280 y las determinaciones fueron hechas por la Q. Graciela Chávez y la Q. Marisela Gutiérrez. Los espectros de RMN fueron determinados en un espectroscopio Varian EM-390 y las determinaciones fueron hechas por la Q. Alejandrina Aceves.

Los puntos de fusión se determinaron en un aparato Fisher-Jones y no están corregidos.

Todas las determinaciones se hicieron en el departamento de Química Orgánica de la División de Estudios de Posgrado de la Facultad de Química, excepto los espectros de IR que se determinaron en el departamento de Química Analítica.

6.3. Obtención del clorocatálisiso 3.

En un matraz de 500 ml de dos bocas se colocaron 25.2 g de acetato de vinilo + 20 ml de agua. El matraz se coloca dentro de un baño de agitación-hielo seco, y cuando la temperatura interna fue de 5°C, se puso una corriente de cloro con un flujo de 5 l/min bajo fuerte agitación. La temperatura interna se mantuvo de -8° a 10°C, y al cabo de 10 min se observó un exceso de cloro. Se suspendió la corriente de cloro y se le pasó sulfuroso por 10 min para desplazar el exceso de cloro. Luego se adicionaron 20 ml de agua, obteniendo un pH de 1 en la solución. Lentamente se le agregó bicarbonato de sodio bajo agitación hasta obtener un pH final de 8. La solución se extrajo con 100 ml de eter 1% porciones de 40 ml c/u, quedando el clorocatálisiso 3 en solución etérica.

El compuesto 3 se obtuvo con un rendimiento del 60%, con una pureza del 95% determinada por Cromatografía de gases (CG).

Por Cromatografía en Capa Fina (CCP) este compuesto muestra tres manchas de los cuales las más intensas tiene un Rf de 0.67. Detrás de: Hexano acetato de etilo 23, revelador: I₂.

En IR(¹³C) se observaron las siguientes señales:

Tabla 6: IR(¹³C).

Señal	Asignación
6.7 s	Cl-CH ₂ -CO < O 3,
6.2 s	Cl-CH ₂ -CH < O 3,
3.9 d	Cl-CH ₂ -CH=O 3,
3.55 d	Cl-CO ₂ -CH < O 3,
2.18 s	Cl-CH ₂ -CH < O 3,-C(=O)-CH ₃ ,
2.0 s	Cl-CH ₂ -CH < O 3,-C(=O)-CH ₃ ,

en C ppm., TMS como referencia interna, dispersante CDCl₃.

t = transíster, isostáter, isotípico.

6.2. Obtención del bisulfuro de sodio 2.

A 14 g de hidróxido de sodio disuelto en 50 ml. de agua se le puso una verrinete de ácido sulfídrico hasta que la solución alcanza un pH de 10.

6.3. Obtención de la 2-(dimetilamino)-5-chlorofina 3.

A un matraz estérile de 200 ml. con dos bocas, con un termómetro en una de ellas y un embudo de presión suspendida en la otra, se le colocó la solución etérica de 1, se enfrió esta solución en un baño de acetona-hielo seco bajo agitación hasta llegar a una temperatura interna de -10°C. En el envase de adición se colocó la solución de 2 y se adicionó lentamente a la medida de reacción manteniendo la temperatura interna entre -10 a 0°C. Despues de la adición de la solución 2 se continuó la agitación por 10 min. donde se observó un precipitado blanqueo que corresponde al compuesto 3. Manteniendo la temperatura entre el intervalo mencionado se le adicionó lentamente 65 ml. de acetona. Posteriormente se adicionaron 65 ml. de una solución de hidróxido de sodio al 20%. Al finalizar la última adición se retiro el baño de acetona-hielo seco y se mantuvo la agitación por 30 min. a una temperatura de 10°C.

Se separaron las dos fases y la fase acuosa se lavó con 120 ml. de eter CB porciones de 40 ml. cada. Se colectaron las capas etéricas, se secó con sulfato de sodio anhídrico y se eliminó el eter a presión reducida obteniéndose 30.70 g del compuesto 3.

El compuesto 3 se obtuvo con un rendimiento del 90% a partir de acetato de vinilo.

En IR se observaron las siguientes señales:

Tabla 6.3.1. IR^{100°C}

Señal	3300	2900	780
Asignación	-OH	-C-H ₃	-C-C-

a) de ¹³C señal de 88 ppm (referencia interna).

b) generada por la temperatura.

El compuesto g se obtuvo con un rendimiento del 80% a partir del acetato de vinilo y con una pureza del 95% determinada por GC (Coluna OV-17). Temperatura Programada: 60°C por 1 min., calentamiento 2°C/min., 100°C por 4 min. (gas arrastrador N₂, Detector de ionización de flama).

Por CCP, este compuesto muestra un RI de 0.43 (mismas condiciones que en el inicio b.), pero revelando con nomenclatura el 8% en etanol al 90% y calentamiento.

En ESR-H¹ se observaron las siguientes señales:

Tabla 6.3.2. ESR-H¹^{100°C}

Señal	1 88 ppm	2 88 ppm s, a.	4 0 ppm s
Asignación	CH ₂ (C=O)	HC=CH	HC=C

a) & ppm.: THF como referencia interna, dimetiloxido DiHMP.

b) es singulete, m.s. singulete CH₂H.

En IR se observaron las siguientes señales:

Tabla 6.2. δ (ppm).

C-Hat	3000	1600	800
Aluminación	-CH ₃	-C≡N-	-C=C-

en cm^{-1} (parte de IR, referencias véase).

6.4. Obtención del clorhidrato de la al-cisteína g.

En una metárc enfermera se colocaron 39.70 g del compuesto 4 disuelto en 50 ml. de agua y con 2.2 g de NaOH; este batir se efectuó lentamente con un batidor de acetona-hielo seco hasta llegar a una temperatura interna de -10°C, una vez estabilizada la temperatura de los burbujos se adicionaría lentamente una solución de 50 g de NaOH en 210 ml. de agua que se adicionó lentamente a una solución de 100 ml. de H₂SO₄ concentrado y 40 ml. de agua, esta última solución debe tener una temperatura de 50°C⁴⁴.

Al finalizar la adición del azido clorhidrico se dejó agitando la solución por 30 min mas. Se tomó una aliquota de la solución y se analizó por CO₂, encontrándose una conversión del compuesto 4 al 5 del 80%.

La solución metabólica anterior del 2,2-dimetilbutanato-4-clorometanato 5, se trato de la siguiente manera.

a) Hidrólisis con HCl 2N.

La solución del compuesto 5 se adicionó a 100 ml. de HCl 2N, y se calentó a reflugo 4 h, durante ese tiempo no se logró observar la formación de la cisteína-HCl; se siguió el curso de la reacción por OCP.

b) Hidrólisis con HCl 2N en un punto.

La solución del compuesto 5 se adicionó a 100 ml. de HCl 2N, y se calentó a reflugo 2 h, tiempo durante el cual se observó la formación de la cisteína-HCl siguiendo la reacción por OCP y ansiérgando

sarcistina-HCl (Merck) como referencia. Así mismo se detectaron otros productos, uno de los cuales tenía un P_r que correspondía a la clorofita estabilizada (Merck). Se eliminaron los disolventes por evaporación a presión reducida al vacío y se obtuvo una pasta café obscuro. En este punto se quiso aislar la sarcistina-HCl por los métodos señalados en la literatura¹³, sin conseguir resultados positivos. Se detectó una gran cantidad de NH₄Cl y se decidió cancelar las operaciones.

c) Hidrólisis con H₂SO₄, BH y HBr concentrada.

La cantidad del compuesto S , se trató por separado con H₂SO₄, BH y HBr conc. y se calentó a reflugo. Al seguir las reacciones por ODF no logra observar la presencia de la sarcistina-HCl pero en condiciones muy impuras y su aislamiento no fue factible.

d) Hidrólisis con HCl-BH en dos pasos.

La solución contenida del S-Endothial Ureido diaminocetonitrilo S se coloca en un matraz esférico de dos bocas y se pone en un baño de acetanileno seco a 0°C, y bajo agitación se le adicionó lentamente 70 ml. de HCl conc.; una vez que se finalizó la adición del ácido, se cesó el baño por uno de agua y se elevó la temperatura hasta 60°C, manteniendo esta temperatura por 3 hrs.; al término de este periodo se eliminó el HCl-H₂O y se adicionaron 70 ml. de agua; el matraz se calienta a una temperatura de 60°C por 4h y por ODF se detectó la sarcistina-HCl. Se le adicionó 5 g de carbón activado y se mantuvo en reflugo por 10 min. más y se filtró la solución.

Se evapora la solución a sequedad bajo presión reducida, hasta que se formó un jarabe espeso, el cual se trato con metanol para eliminar el NH₄Cl totalmente. Esta solución de metanol se evapora a sequedad a presión reducida convirtiéndose un residuo pastoso (Δ).

A continuación se muestran los métodos empleados para aislar la distilina sin haber obtenido buenas resultados.

e) El residuo Δ obtenido se trato con HCl al 20% para cristalizar

La nucosistamina-HCl, a pesar de realizar cuidadosamente lo anterior solo se logró disolver en muy bajo rendimiento.

b) Al mezclar A se le adicionó agua hasta disolverlo. A esta solución se le adicionó etanol hasta hacer un pH 5, que es el punto isoeléctrico de la nucosistamina, pero el amoníaco no precipitó. De nuevo la hace por primera vez los resultados fueron los mismos.

c) Al residuo A se le adicionó etanol hasta disolverlo. Luego se le agregó éter, pero el precipitado obtenido fue puro y muy inestable.

d) Al residuo A se le adicionó agua y se saturó con NaCl, pero no se obtuvo ninguna cristalización.

El compuesto 5 se obtuvo con un rendimiento del 45% a partir del acetato de vinilo (Determinado por Cromatografía de Alta Resolución (HPLC). Columna C-18, solvente: Acetonitrilo-Agua 40-60, Flujo: 1 ml/min. Detector de índice de refracción.) Por CG se observa que la conversión del compuesto 4, es del 100%. (Columna de OV-17, temperatura 50°C por 6 min., calentamiento de 10°C/min. 150°C por 6 min. Detector de ionización de llama).

Por CCP, este compuesto tiene un RF de 0.4 (cromatografía que en el anexo 6, 3, 3).

En δ -DMSO¹ se observaron las siguientes señales:

Tabla 5-4-1. RMN-H¹ (d)

Señal	Asignación
1.63 s	CH ₃ (C=O)J
1.45 s	CH ₃ (C=O)J
4.45 t	H(C=O)J
3.30 d	H(C=O)J
3.25 d	H(C=O)J

a) D, 90°. TMS como referencia interna, disolvente CD₃OD.

b) El compuesto, soluble, triplete.

El compuesto B por CCP (elutriante: CH_2Cl_2 -etanol 80:20; tiempo: agua 72; 10:1.5, rotación: $+10.0^\circ$ en etanol al 0.01 y calentamiento: 0.01 de 0-60).

8.5. Obtención del azido 2,2-dimetil-3-(4-nitrofenoxy)propano D ^{1H-NMR}

1 g de acetato-MgO (MgO) se adicionó a 200 ml de acetona y la mezcla se refugó por 7 h. Al final de este periodo se destiló la acetona y cuando se obtuvo una fracción se suspendió la mezcla, se dejó enfriar y luego reposar en el refrigerador por 24 h. Los cristales formados se filtraron y se recristalizaron en acetona. Se obtuvo 0.86 g (70% de rendimiento) con un p.f. de 170-172°C.

Cuando el residuo A se sometió a la técnica anterior, se observó que era muy insoluble en acetona por lo cual se le adicionó primera metanol para disolverlo, 10 g del residuo A se le adicionó 5 ml de metanol y se calentó suavemente hasta disolver la parte. Una vez ya disuelta se le adicionó 1 L de acetona y se puso a refugar por 7 h y después se destiló la acetona. El rendimiento fue más bajo (17% del la sintesis total). Por CCP se observó una gran pureza.

El compuesto D por CCP (las mismas condiciones que en la caracterización de B) tiene un Rf de 0.45.

En PMS-H¹³ se observaron las siguientes señales:

Tabla 8.5.1. PMS-H¹³-CP.

Señal	Asignación
1.70 s	$\text{CH}_3\text{C}-\text{R}$
4.77 t	$\text{HC}-\text{C}-\text{R}$
7.50 d	$\text{HC}-\text{C}-\text{R}$
8.45 d	$\text{HC}-\text{C}-\text{R}$

= δ ppm. Toda cosa referente a solvents, descriptiva, R=phenyl.

No se observó, anidrido, imida, etc.

Se concuerda con lo reportado.¹³

En IR se observaron las siguientes señales:

Tabla 6.9.2. IR¹⁰⁰.

Señal	3450	2900	1740	1420
abs gracia on	-OH	-CH ₂ -	-C=O	-S-CH ₃

lit. cm⁻¹ grisalla de KBr, referencias: 2000.

6.6 síntesis del anillo 2,2-pentametilbenzo-1-acetiltrimetanoxano 2.

0.5 g de succinato Na-HCl se disolvieron en la mínima cantidad de metanol, se le adicionó 5 ml. de dióxido de carbono destilada y se agitó por 2 h a temperatura ambiente. Se concentró la solución a presión reducida hasta la aparición de cristales, se enfrió el matraz y se guardó en el refrigerador por 12 h. Los cristales se filtraron obteniéndose 0.6 g de 2 (60% de rendimiento) p.f. de 133-135°C.

Cuando se trató el residuo a bajo las condiciones anteriores se obtuvo el compuesto 3. Se siguió la reacción por CCP pero su purificación es muy difícil debido a las impurezas del residuo 2. Este compuesto se obtuvo con un rendimiento del 35% de la muestra total.

El compuesto 2 por CCP (mismas condiciones que en el inciso 6.5.2) tiene un RF de 0.62.

En RMN-H¹ se observaron las siguientes señales:

Tabla B.6.1. RMN- δ , ppm.

Señal	Asignación
1.0-2.0 s, s	CH ₃ C=O
2.0 s, s	HODx C=O
4.03 t	HC=O
3.40 d	HC=O
3.20 s	HC=O

o. d. ppm. Toda otra referencia véase.

b. s. s. s. singulete simple, doblete, triplete.

c. m. m. multiplete ancho.

D) Unidad de medida ppm-D₂O.

En IR se observaron las siguientes señales:

Tabla B.6.2. IR^{cm⁻¹}.

Señal	3450	2900	1740	1470
Asignación	-OH	-OH-	-C=O	S-CO ₂

o. v. ν cm^{-1} medida de KBr, véase nota.

6.7. Obtención de la carboxilamina HCl B a través de los derivados del ácido 4-fluorobutanoílico disueltos en la posición 2.

a) 0.5 g de B se disolvieron en 1 ml de HCl 6N y se pusieron a reflugio por 3 h. Se evapora a sequedad y se obtuvo 0.36 g del compuesto B (90% del rendimiento).

b.) 0.5 g de B se disolvieron en 1 ml de HCl 6N y se puso a reflugio por 3 h donde se observó por CCF la aparición del compuesto B, pero aun con la presencia de B. Cuanto se aumenta el tiempo de reflugio no se encuentra variación alguna.

b.29 0.5 g de 9 se disolvieron en 5 ml. de HCl 6N y se colocaron en una ampolla de vidrio la cual posteriormente se cerró. Esta fue colocada en un baño de agua a temperatura de 60°C por un período de 3 h, al analizar la solución por CCP no se encontró variación alguna respecto al anterior inciso.

b.30 Obtención de maiz y su-cistina 10:

a.1) 1 g de su-cistina-HCl ($\text{C}_6\text{H}_{11}\text{NO}_2\text{HCl}$) se disuelve en H_2O , se le adiciona NH_3OH concentrado hasta un pH de 8.5 y se le burbujea aire por 24 h. Al cabo de este período se observó un precipitado blanco, el cual se filtró obteniéndose 0.6 g de 10 (rendimiento 70%) con un p.f. de 220-225°C (desc.).

a.2) La solución obtenida del hidrolizado del compuesto 3 mencionada en b.4 d.1 fue tratada con C. activado. Luego se le adicionó NH_3OH conc. hasta un pH de 8.5 y se le pasó una corriente de aire por 24 h, al finalizar este período se observó un precipitado el cual fue filtrado a vacío obteniéndose 0.9 g del compuesto 10 (rendimiento 14% a partir el acetato de vinilo) con un p.f. de 180-185°C (con desc.).

Por CCP, en las mismas condiciones que el inciso b.3 se obtuvo un RF de 0.22 que fue el mismo de la cistina estandar.

En IR se observaron las siguientes señales:

Tabla b.3.1. IR ^{13}C

Señal	3400	3000	1600	1420	475
Asignación	OH	NH_3^+	C=O	S=CH ₃	S-S

en cm^{-1} , parafina de KBr, referencia agua.

En la difusión de una disolución HCl 6% por saturación de vapor y temperatura 10°.

Si y de 10 se difunde en un 10% al. de HCl. Se observa que el consumo de tritio es de 0.2 actividad y se le adicionan en 0.5 g de CH₃COOEt. La mezcla se calienta suavemente para que el EtOAc CDP se disuelva completamente. Al finalizar este período se dejó enfriar y se le puso una cantidad de HgCl que resulta cristalina, el precipitado indica que el EtOAc se filtró. La actividad residual se llevó a presión reducida y el sólido se recristalizó con HCl 20%. Se obtuvo 0.7 g de lactato EtOAc HCl. Crecimiento del 10% de la actividad total?

Por CDP este compuesto tiene un Pt de 0.26 cuando difunde sobre agua 6.50

En 1P se observaron las siguientes señales:

Tabla 6.9.1. 1H-¹³C

Señal	3400	2000	1740	1420	475
Asignación	OH	NH ₂	C=O	S-CO ₂	S=S

en cm⁻¹, potencia de 1000, referencia acetato.

En DMSO-D₆ se observaron las siguientes señales:

Tabla 6.9.2. 1H-¹³C, ¹⁵N

Señal	Asignación
3.15 s	CH ₃ CH(NH ₂)COOH
4.19 s	HSC(=O)NH

En el punto 3.15 se observó una señal de intensidad moderada, desaparece en D₂O.
En el punto 4.19 se observa una señal de intensidad moderada.

6.10. Obtención de la 2,2-pentametilen- δ^2 -tiazolina II¹⁰⁰.

A una matriz esférica de 500 ml con 8 bolas, se colocó en una de ellas un termómetro y en la otra un embudo de precipita suspensión, se le adicionó 20.33 g de 1 y se enfrió esta solución en un baño de hielo acetato-acetona bajo agitación hasta que se alcanza una temperatura de -10°C. En el embudo de adición se puso la solución 2 y se le adicionó lentamente manteniendo la temperatura interna entre -10 y 0°C. Despues de la adición se continuó la agitación por 10 min y se observó la formación de un precipitado blanco que corresponde al compuesto 3. Se adicionó lentamente 32 ml de ciclohexanona recién destilada. Posteriormente se adicionó lentamente 60 ml de NH₂OH al 20% manteniendo la temperatura entre -10 y 0°C. Al finalizar esta última adición se le agrega 50 ml del cloroformo y se dejó agitando a temperatura ambiente por 6 h. Se sigue la reacción por CCP, al finalizar este tiempo se separaron las fases y se extrajo con CCl₄, CB porciones de 40 ml cada. Se secó la solución con Na₂SO₄ anh y se eliminó el CCl₄ a presión reducida.

El compuesto II se obtuvo con un rendimiento del 62% a partir del clorocacetildehido 1, y una pureza del 78% (determinada por CGP mismas condiciones que el inicio 6.20).

Por CCP (mismas condiciones que el inicio 6.20), mostró un Rf de 0.44.

En RMN-H¹ se observaron las siguientes señales:

Tabla 6.10.1. RMN-H¹¹⁰⁰

Señal	1.20 s	7.30 s.s.	3.65 d
Asignación	CH ₂ (C=O)	H(C=O)	H(C=O)

a) 0 ppm., TMS como referencia interna. Disolvente CDCl₃.

b) s.s. = singulete; ss = multiplicado; d = doblete.

6.11. Observación del efecto R, dependiendo de la concentración de hidróxido de litio LiOH .

En un sistema se coloca el compuesto I^{a} obtenido anteriormente disuelto en 50 ml. de CCl_4 , y 2.2 g. de NaOH . este sistema se enfria en un hielo con un baño de acetona-metanol hasta llegar una temperatura inferior de -10°C . Una vez estabilizada la temperatura de los baños, HCl que libera de la salina forma que se adiciona en 50 ml. Al finalizar la adición se deja agitar la solución por 20 min más a temperatura ambiente. Se analiza por CCF la densidad óptica de I^{a} y se observa la aparición de I^{b} .

A esta solución se le adiciona lentamente 70 ml. de HCl conc. y se agita por 5 h a una temperatura de 50°C . Al finalizar este periodo se toma una muestra y se analiza por CCF para no se pierda algún de la reacción.

El compuesto I^{b} es soluble en una parte de HCl. Dicho sistema por HPLC muestra bandas que en el compuesto I^{a} , por CCF se observa que la convergencia del compuesto I^{a} , es del 100%, en las condiciones que en el compuesto I^{b} . Por CCF similares condiciones que el compuesto I^{a} tiene un Ef de 0.49. En $\text{KBr}-\text{D}_2$ se observan las siguientes señales:

Tabla 6.11.1. $\text{KBr}-\text{D}_2$.

Serie	Asignación
1. 0-2. 2. n. s.	$\text{CH}_2(\text{C}-\text{H})_2$
4. 9. t	$\text{HC}-\text{H}_3$
4. 9.5. t	$\text{HC}-\text{H}_3$
3. 22. d	$\text{HC}-\text{H}_3$
3. 10. d	$\text{HC}-\text{H}_3$

en δ ppm., τ ppm como referencia interna, densidad 1.490.

En n. s. se cumplió el criterio establecido, interpretación.

n. s. = no se cumplió el criterio.

CAPÍTULO 7

7. CONCLUSIONES.

- 1.- Por medio de la chromatografía en capa fina se desarrolló la técnica más práctica para poder realizar el seguimiento de la síntesis total.
- 2.- Se sintetizó el ac. 2,2-pentanodíeno-4-triazolidinocarbonílico 8, para el cual no hay una síntesis informada.
- 3.- No se pudo determinar si los ácidos 4-triazolidinocarbonílicos disustituidos en la posición 2 son intermediarios de la hidrólisis de los 4-triazolidinocarbonítrilos disustituidos en la posición 2.
- 4.- La reacción de hidrólisis de los 4-triazolidinocarbonítrilos disustituidos en la posición 2, es baja en rendimiento debido a la inestabilidad tanto del reactivo como del producto bajo condiciones de hidrólisis.
- 5.- El método encontrado para el aislamiento de la cisteína puede ser aplicado a otras rutinas, con lo cual se facilitará su purificación.
- 6.- De varias opciones reportadas para la reducción de la cistina, se probóres y se seleccionó la utilización de Sn en medio Ácido, lo que permite el mejor rendimiento y pureza.

7.- Se comprobó que la utilización de derivados como medio de purificación de un producto es exitoso, ya que permite obtener compuestos con propiedades químicas y físicas que facilitan dicho proceso.

8.- La producción industrial de la L-cisteína por síntesis química no es costeable debido al bajo rendimiento, por lo que se recomienda estudiar su aislamiento de proteínas.

CAPITULO 6

B. BIBLIOGRAFIA.

1. - Kirk, R. E. and Othmer, D. F., *Encyclopedia of Chemical Technology*, 2 pp. 376-421 Ed. Wiley-Interscience U. S. A. 1962.
2. - Aldrich, Catalog Handbook of Fine Chemicals U. S. A. 1964.
3. - Greenbaum, J. P., and Monitz, H., *Chemistry of the Amino Acids*, 3 Chap. 24, pp. 1476-1500. Ed. John-Wiley and Sons, Inc., U.S.A. 1961.
4. - CA 54:1244n
5. - CA 109:220079e
6. - CA 87:202749e
7. - CA 93:89142n
8. - CA 98:62662n
9. - Günther, K. and Schickendantz, W., Thin Layer Chromatographic Enantioseparation, Naturwissenschaften (1960) 72:149-50.
10. - CA 66:101164v
11. - CA 80:223494e
12. - ibid 3 Chap. 29
13. - Podd's Chemistry of Carbon Compounds, 1D Ed. Brit. Ed. Edited by S. Coffey Elsevier Pub.
14. - CA 98:54469n
15. - CA 95:256429n
16. - CA 98:7063n.

ESTA TESIS NO DEBE
SALIR DE LA BIBLIOTECA

17. - CA 98:02261.
18. - CA 99:25433a.
19. - CA 100:112652a.
20. - CA 102:73322.
21. - CA 102:95075a.
22. - CA 99:21792.
23. - CA 100:24676a.
24. - Angew. Chem. Int. Ed. Engl. (1981) 20, 648.
25. - Pat. Alabama. Des. Offen. 8,645,748.
26. - JACE 010500-08 CSD 1124-0.
27. - CA 71:12370.
28. - CA 97:144265.
29. - CA 100:34145.
30. - CA 99:49087.
31. - CA 99:120760w.
32. - CA 23:3470.
33. - CA 23:3938.
34. - CA 76:13730y.
35. - Santos, E., Leon, F. y Perez, Gloria. Sintesis de alfa-Crotonina (1987) UAH, Tesis postular.
36. - Soother Research Laboratories Inc. 19-52323K.
37. - CA 81:2373a.
38. - Howard-Lock, M. E., Lock, C. J. L., Martine, M. L., Smallley, P. E., and Bell, R. A., Can. J. Chem., (1980) 64, 1215-9.

- 39.- Santos, Elvira; León, Fernando y Contreras, L. Síntesis de 4-(trans)-ciclohexenopropionato (ácido sustituido en la posición 4). C19820 UNAM (sin publicar).
- 40.- Engle, C. Hydrogen Cyanide. Organic Syntheses I., C19410 R14-16.
- 41.- Pernaschi, E. Tablas para la identificación estructural de compuestos orgánicos por métodos espectroscópicos. Ed. 3 Ed. Alhambra, España 1960.
- 42.- Nakamoto, K. Infrared Absorption Spectroscopy. Ed. Nankodo Company, Ltd. Tokio, Japón. 1962.

9. ESPECTROS

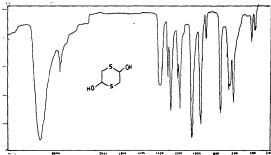


Figura 9.1

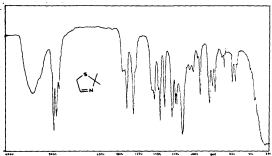


Figure 9.2

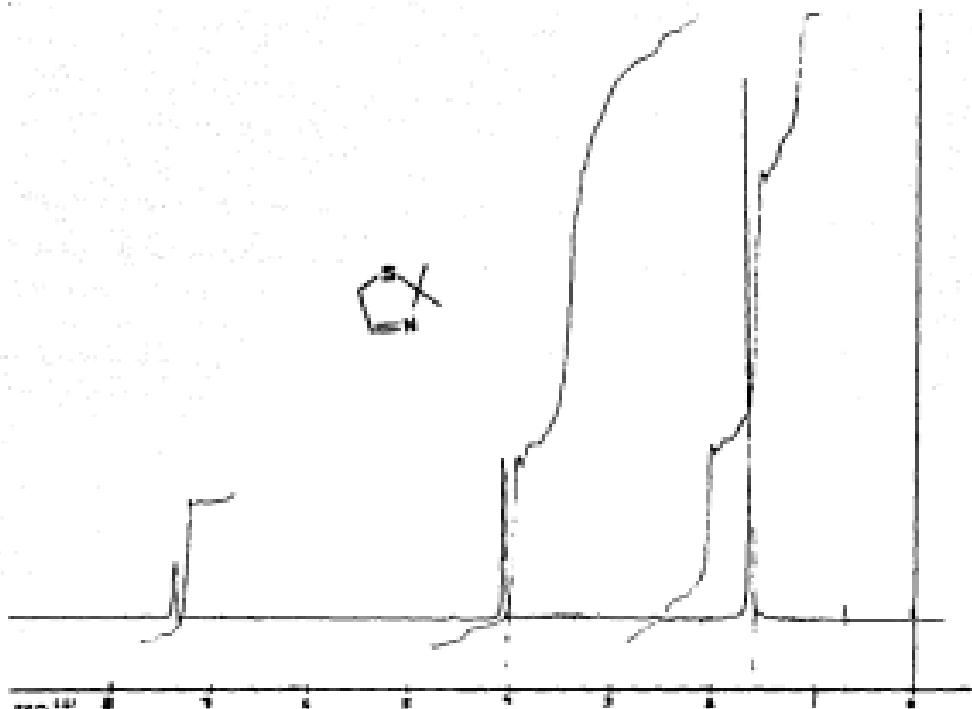


figure 9.3

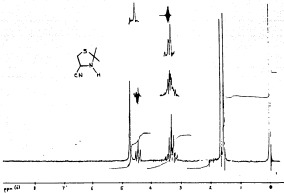


Figure 9.4

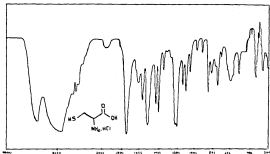


Figure 9.3

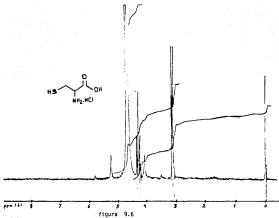
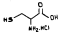


figure 9.6

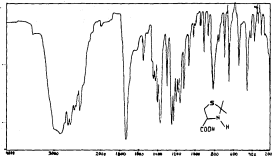


Figure 9.7

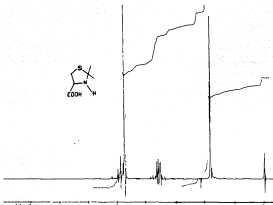


Figure 5.8

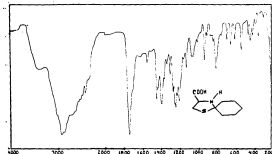


Figura 9.9

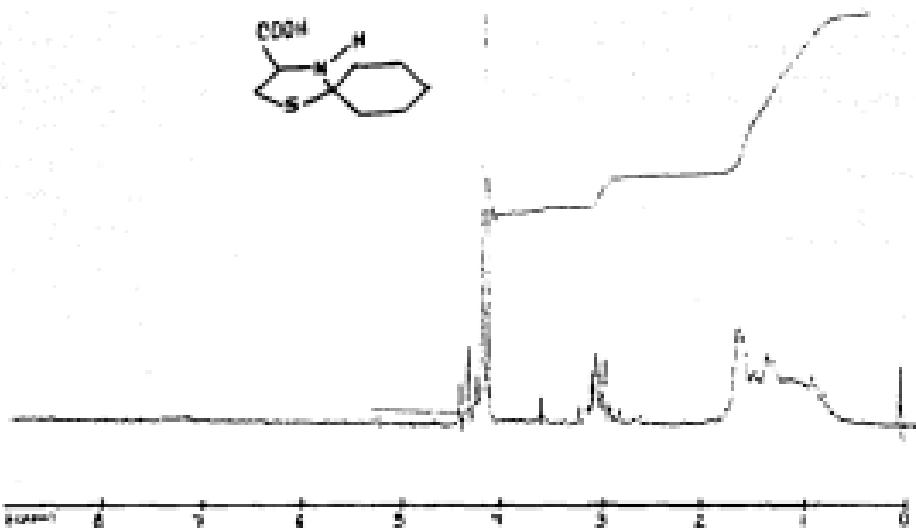


figure 9.10